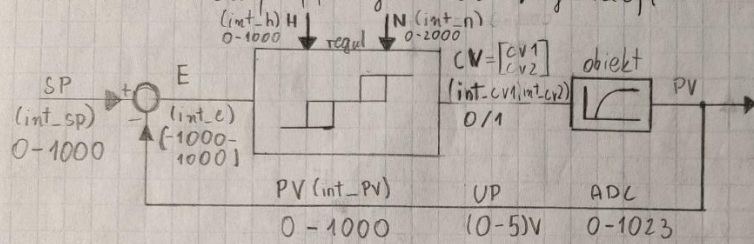


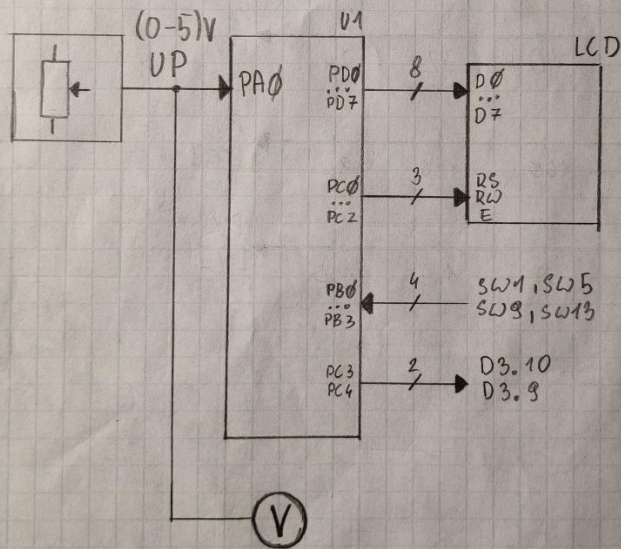
Borys Staszczak 248958

Temat: Badanie regulatora trójstawnego

1. Schemat blokowy typowego układu regulacji



2. Schemat blokowy podłączenia sygnałów w układzie badania regulatora

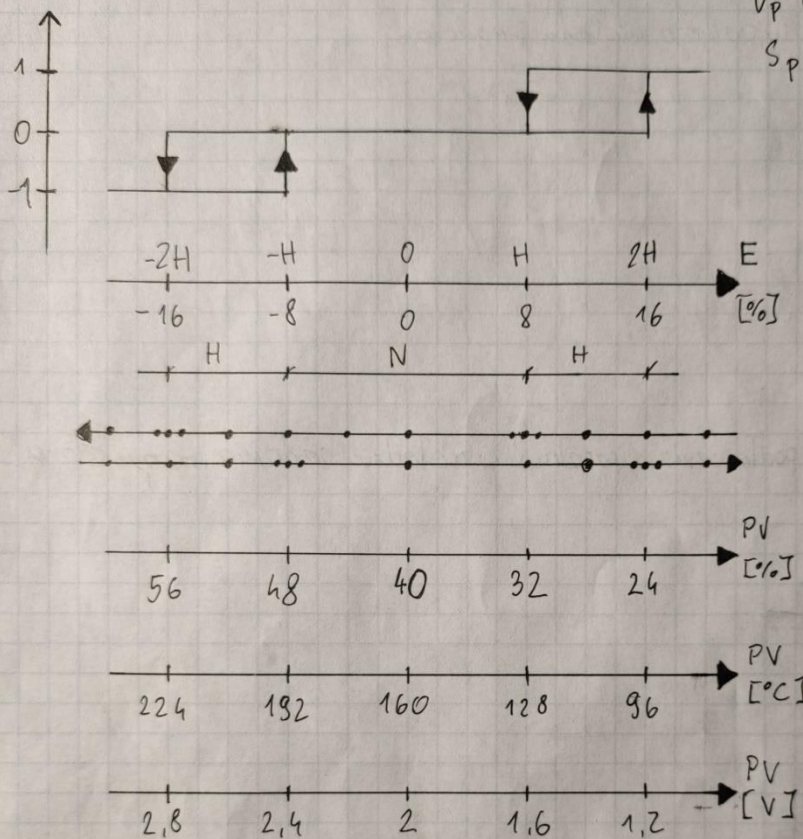


3. Charakterystyka regulatora trójstawnego

$$z \in \langle 0, 400 \rangle ^\circ\text{C}$$

$$V_p \in \langle 0, 5 \rangle \text{ V}$$

$$S_p = 40\% \quad H = 8\%$$



4. Tabela pomiarowa

Borys Staszczak 248858

			CV1		CV2				
E[H]	E[%]	E[°C]	PV[%]	PV[Adc]	PV[°C]	PV[V]	Pomiar PV[%]	Sten diody D3.9	Sten diody D3.9
-2,50	-20,0	-80,0	60,0	614	240,0	3,00	59,9	✓	×
-2,00	-16,0	-64,0	56,0	573	224,0	2,80	55,9	✓	×
-1,50	-12,0	-48,0	52,0	532	208,0	2,60	51,9	✓	×
-1,05	-8,4	-33,6	48,4	495	193,6	2,42	48,3	✓	×
-1,00	-8,0	-32,0	48,0	491	192,0	2,40	47,9	×	×
-0,95	-7,6	-30,4	47,6	487	190,4	2,38	47,5	×	×
-0,50	-4,0	-16,0	44,0	450	176,0	2,20	43,9	×	×
0,00	0,0	0,0	40,0	409	160,0	2,00	39,9	×	×
0,50	4,0	16,0	36,0	368	144,0	1,80	35,9	×	×
1,00	8,0	32,0	32,0	327	128,0	1,60	31,9	×	×
1,50	12,0	48,0	28,0	286	112,0	1,40	27,9	×	×
1,95	15,6	62,4	24,4	250	97,6	1,22	24,3	×	×
2,00	16,0	64,0	24,0	246	96,0	1,20	23,9	×	✓
2,05	16,4	65,6	23,6	241	94,4	1,18	23,5	×	✓
2,50	20,0	80,0	20,0	205	80,0	1,00	19,9	×	✓
2,00	16,0	64,0	24,0	246	96,0	1,20	23,9	×	✓
1,50	12,0	48,0	28,0	286	112,0	1,40	27,9	×	✓
1,05	8,4	33,6	31,6	323	126,4	1,58	31,5	×	✓
1,00	8,0	32,0	32,0	327	128,0	1,60	31,9	×	✓
0,95	7,6	30,4	32,4	331	129,6	1,62	32,3	×	×
0,50	4,0	16,0	36,0	368	144,0	1,80	35,9	×	×
0,00	0,0	0,0	40,0	409	160,0	2,00	39,9	×	×
-0,50	-4,0	-16,0	44,0	450	176,0	2,20	43,9	×	×
-1,00	-8,0	-32,0	48,0	491	192,0	2,40	47,9	×	×
-1,50	-12,0	-48,0	52,0	532	208,0	2,60	51,9	×	×
-1,95	-15,6	-62,4	55,6	569	222,4	2,78	55,5	×	×
-2,00	-16,0	-64,0	56,0	573	224,0	2,80	55,9	×	×
-2,05	-16,4	-65,6	56,4	577	225,6	2,82	56,3	✓	×
-2,50	-20,0	-80,0	60,0	614	240,0	3,00	59,9	✓	×

